

# ТЕРМОДИНАМИЧЕСКИЕ ФУНКЦИИ НЕРЕЛЯТИВИСТСКОГО ВЫРОЖДЕННОГО НЕЙТРОННОГО ГАЗА В МАГНИТНОМ ПОЛЕ

*B. B. Скобелев\**

*Московский государственный индустриальный университет  
115280, Москва, Россия*

Поступила в редакцию 21 марта 2010 г.

С использованием численных методов найдены энергия Ферми, парциальные концентрации поляризованных нейтронов, давление, объемная плотность энергии вырожденного нерелятивистского нейtronного газа в магнитном поле с учетом аномального магнитного момента нейтрона. Полученные результаты являются обобщением на случай наличия магнитного поля соотношений, на которых основана модель нейтронной звезды Оппенгеймера–Волкова. Сверхсильное (до  $10^{17}$  Гс) магнитное поле изменяет давление и внутреннюю энергию звезды, оказывая влияние на ее статическую конфигурацию и эволюцию. Показано, что в сверхсильных магнитных полях, как и в слабых, вырожденный нейtronный газ является парамагнетиком, причем соответствующие значения магнитной восприимчивости различаются множителем, имеющим порядок единицы. Обсуждается возможность экспериментальной проверки результатов при анализе излучения пульсаров.

Сверхсильные магнитные поля (до  $10^{17}$  Гс [1, 2]) при взаимодействии с аномальным магнитным моментом (АММ) нейтронов могут существенным образом изменить структуру заполнения квантовых состояний в вырожденном нейtronном газе, изменения, например, энергию Ферми, а также, по терминологии книги [3], другие термодинамические функции: парциальные спиновые концентрации нейtronного газа  $n_{\pm}$  (см. ниже), давление  $P$ , объемную плотность энергии  $U$ , приводя также к намагничению нейtronного газа.

В известных нам работах (см. [4] и приведенные там ссылки) в реальной модели нейtronной звезды, состоящей преимущественно из нейтронов с примесью протонов и электронов (последние необходимы для паулиевского запрета  $\beta$ -распада нейтронов и являются также носителями токов, создающих магнитное поле звезды), учитывалось влияние магнитного поля на заряженные частицы ( $p$  и  $e$ ), а зависимость химического потенциала  $\mu_{ch}^{(n)} \equiv \mu_{ch}$  и энергии Ферми нейтронов от поля вытекала просто из соответствующей зависимости от поля  $\mu_{ch}^{(p)}$  и  $\mu_{ch}^{(e)}$  и условия химического равновесия  $\mu_{ch} = \mu_{ch}^{(p)} + \mu_{ch}^{(e)}$ .

Однако этот подход нельзя считать удовлетворительным, поскольку, например, энергия нерелятивистского нейтрона равна

$$E_n = m + \frac{p^2}{2m} \pm |\lambda|, \quad (1)$$

где  $\lambda = \mu B$ ,  $\mu = \sigma \mu_n$  — АММ нейтрона ( $\sigma \approx -1.9$ ,  $\mu_n = e/2m_p$  — ядерный магнетон),  $B$  — индукция магнитного поля, знаки « $\pm$ » соответствуют ориентации спина по полю или против поля, а АММ — наоборот. Энергия же нерелятивистского протона равна

$$E_p = m_p + \frac{p_3^2}{2m_p} + \frac{\gamma n}{m_p}, \quad (2)$$

где  $\gamma = |eB|$ ,  $n$  — номер уровня Ландау (далее обозначение « $n$ » используется для концентрации нейтронов),  $p_3$  — импульс вдоль поля. Видно, что зависящие от поля поправки к энергии нейтрона (1) и протона (2) имеют один порядок, так что взаимодействие АММ нейтрона с магнитным полем тоже необходимо учитывать.

В простейшей модели нейtronной звезды типа Оппенгеймера–Волкова [5] будем считать нейtronную звезду состоящей только из нейтронов, а нашей целью будет обобщение соответствующих уравнений

---

\*E-mail: v.skobelev@inbox.ru

на случай наличия магнитного поля. Такой подход оправдан и тем, что основной вклад в давление  $P$  и плотность энергии  $U$  дают именно нейтроны.

Исходим из основных соотношений статистики Ферми–Дирака (см., например, книгу [6]):

$$n = \sum \frac{4\pi}{(2\pi)^3} \int_0^\infty f p^2 dp, \quad (3a)$$

$$P = \sum \frac{4\pi}{(2\pi)^3} \frac{1}{3} \int_0^\infty f p \left(\frac{p}{m}\right) p^2 dp, \quad (3b)$$

$$U = \sum \frac{4\pi}{(2\pi)^3} \int_0^\infty f \varepsilon p^2 dp. \quad (3c)$$

Здесь сумма берется по спиновым состояниям,  $p \equiv |\mathbf{p}|$ ,

$$f = \left[ \exp \left( \frac{\varepsilon - \mu_{ch}}{T} \right) + 1 \right]^{-1} \quad (4)$$

— функция распределения,  $\varepsilon$  — энергия нейтрона, которая в отсутствие магнитного поля в рассматриваемом нерелятивистском случае равна  $\varepsilon = p^2/2m$ . При  $T \rightarrow 0$  из формул (3), (4) получаются обычные соотношения:

$$n = \frac{p_F^{(0)3}}{3\pi^2}, \quad (5a)$$

$$P_0 = \frac{2(2m)^{3/2}}{15\pi^2} E_F^{(0)5/2}, \quad (5b)$$

$$U_0 = \frac{(2m)^{3/2}}{5\pi^2} E_F^{(0)5/2}, \quad (5c)$$

где  $p_F^{(0)} = (3\pi^2 n)^{1/3}$  — импульс Ферми,

$$E_F^{(0)} \equiv \mu_{ch}|_{T=0} = \frac{(3\pi^2 n)^{2/3}}{2m} \quad (6)$$

— энергия Ферми в отсутствие магнитного поля. Формулы (5), (6) являются основными в модели нейтронной звезды Оппенгеймера–Волкова, поскольку в достаточно старой нейтронной звезде нейтронный газ является нерелятивистским и практически вырожденным [2, 7], давление же обусловлено в основном вкладом нейтронов (5b).

Для обобщения этих соотношений на случай наличия сверхсильного ( $B \lesssim 10^{17}$  Гс) магнитного поля следует взять энергию нейтрона в виде

$$\varepsilon = \frac{p^2}{2m} \pm |\lambda|. \quad (7)$$

Суммирование по спиновым состояниям в формулах (3) теперь не сводится к тривиальному умножению

на 2, а с учетом формулы (7) приводит к появлению в правых частях двух слагаемых, соответствующих двум ориентациям спина. В случае вырожденного ( $T \rightarrow 0$ ) газа получаем

$$n = n_+ + n_-, \\ n_\pm = \frac{1}{6\pi^2} p_F^{(\pm)3}, \quad (8a)$$

$$P = P_+ + P_-, \\ P_\pm = \frac{1}{30\pi^2 m} p_F^{(\pm)5}, \quad (8b)$$

$$U = U_+ + U_-, \\ U_\pm = \frac{1}{20\pi^2 m} p_F^{(\pm)5} \pm \frac{|\lambda|}{6\pi^2} p_F^{(\pm)3}, \quad (8c)$$

где

$$p_F^{(\pm)} = \sqrt{2m(E_F \mp |\lambda|)}, \\ E_F = \mu_{ch}|_{T=0} \quad (9)$$

— импульсы и энергия Ферми в магнитном поле (мы предполагаем, что  $E_F > |\lambda|$ , это будет очевидно из дальнейшего).

Формулы (8) удобней переписать в другом виде, вводя безразмерные переменные (это ключевой момент наших вычислений)

$$x = |\lambda|/E_F^{(0)}, \quad y = E_F/E_F^{(0)}, \quad (10)$$

где  $E_F^{(0)}$  задается формулой (6). Тогда они принимают вид

$$\frac{1}{2}(y+x)^{3/2} + \frac{1}{2}(y-x)^{3/2} = 1, \\ \varepsilon_- + \varepsilon_+ = 1, \\ \varepsilon_\pm \equiv \frac{n_\pm}{n} = \frac{1}{2}(y \mp x)^{3/2}, \quad (11a)$$

$$P = \frac{(2m)^{3/2} E_F^{(0)5/2}}{15\pi^2} \left[ (y+x)^{5/2} + (y-x)^{5/2} \right], \quad (11b)$$

$$U = \frac{(2m)^{3/2} E_F^{(0)5/2}}{2\pi^2} \times \\ \times \left\{ \frac{1}{5} \left[ (y+x)^{5/2} + (y-x)^{5/2} \right] + \right. \\ \left. + \frac{x}{3} \left[ (y-x)^{3/2} - (y+x)^{3/2} \right] \right\}. \quad (11c)$$

Добавим к этим формулам и выражение для намагниченности  $J$  вырожденного нейтронного газа:

$$J = |\mu|(n_- - n_+) = \frac{|\sigma|\alpha}{2} \frac{m_e}{m_p} B_0 n \lambda_C^3 (\varepsilon_- - \varepsilon_+), \quad (12)$$

где  $m_e$  и  $\lambda_C$  — масса и комптоновская длина волны электрона,  $\alpha = e^2 = 1/137$ ,  $B_0 = m_e^2/e = 4.41 \cdot 10^{13}$  Гс — швингеровское поле. В формуле (12) мы учли, что  $\varepsilon_- > \varepsilon_+$  (см. рис. 2), так что собственное поле вырожденного нейтронного газа направлено по внешнему полю, причем зависимость  $J$  от величины поля приблизительно является линейной ((12), рис. 2), т. е. он ведет себя подобно парамагнетику. Отметим в связи с этим, что

$$\varepsilon_- - \varepsilon_+ \approx \frac{x}{2^{1/3}} \quad (13a)$$

и

$$J \approx \chi B,$$

где магнитная восприимчивость

$$\chi \approx \frac{\sigma^2 \alpha}{2^{7/3}} \left( \frac{m_e}{m_p} \right)^2 \frac{m_e}{E_F^{(0)}} n \lambda_C^3 \quad (13b)$$

имеет порядок  $10^{-4}$ .

Отметим также, что в достаточно слабых полях, когда  $x \ll 1$ ,  $y \approx 1$  ( $|\lambda| \ll E_F^{(0)}$ ,  $E_F \approx E_F^{(0)}$ ), из (11a) легко получить соотношение

$$\varepsilon_- - \varepsilon_+ \approx \frac{3}{2} x$$

и в соответствии с формулой (12) можно найти, что в используемых обозначениях

$$\chi = \frac{3}{8} \sigma^2 \alpha \left( \frac{m_e}{m_p} \right)^2 \frac{m_e}{E_F^{(0)}} n \lambda_C^3.$$

С учетом определений  $\mu = \sigma \mu_n$  и (6) это совпадает с классическим результатом, приведенным в книге [6]. Таким образом, в достаточно слабых полях  $|\lambda| \ll E_F^{(0)}$  ( $B \ll B_{max}$ , см. ниже) имеет место спиновый парамагнетизм Паули [6] вырожденного нейтронного газа, а в сверхсильном поле  $|\lambda| \approx E_F^{(0)}$  ( $B \approx B_{max}$ ) вырожденный нейтронный газ также является парамагнетиком с несколько иным значением магнитной восприимчивости  $\chi$ :

$$\frac{\chi_{weak}}{\chi_{strong}} = \frac{3}{2^{2/3}} \approx 2.$$

Первое из уравнений (11a) в неявном виде определяет  $y$  как функцию от  $x$ , а с учетом (10) — зависимость  $E_F$  от величины внешнего поля и концентрации. Можно убедиться, что это уравнение имеет корни относительно  $y$  при значениях  $x$  в диапазоне

$$0 \leq x \leq x_{max}, \quad (14)$$

где

$$x_{max} \approx 1/2^{1/3} \approx 0.8, \quad (14a)$$

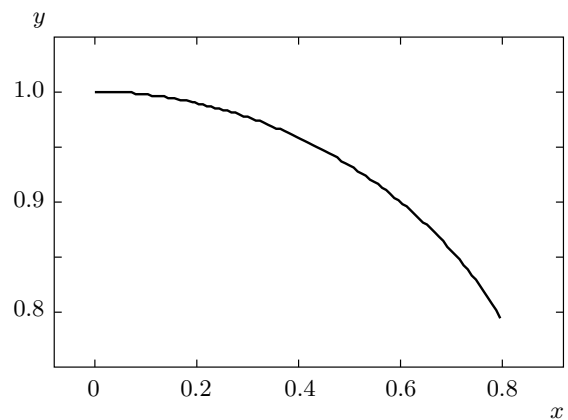


Рис. 1. Зависимость «безразмерной энергии Ферми»  $y$  (10) от безразмерного полевого параметра  $x$  (10)

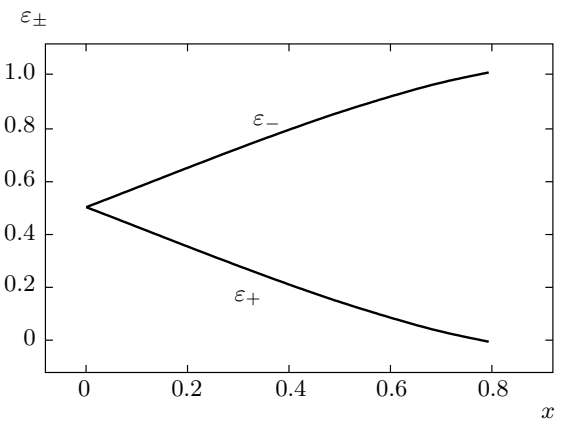


Рис. 2. Зависимость относительных парциальных концентраций  $\varepsilon_\pm$  (11a) от полевого параметра  $x$  (10)

что соответствует значению  $|\lambda| = E_F$ . График функции  $y(x)$  представлен на рис. 1, а график относительных парциальных концентраций  $\varepsilon_\pm(x)$  — на рис. 2. С учетом формул (10) и (14a) получаем

$$B_{max} = \frac{2^{2/3}}{|\sigma|} \frac{m_p}{m_e} \frac{E_F^{(0)}}{m_e} B_0. \quad (15)$$

Поскольку при плотности порядка ядерной в ядре нейтронной звезды  $n \sim 10^{38}$  см<sup>-3</sup>, из (6) находим  $E_F^{(0)} \sim 10$  МэВ и  $B_{max} \sim 10^{18}$  Гс, так что при «реалистических» значениях поля  $\lesssim 10^{17}$  Гс наше допущение  $|\lambda| < E_F$  вполне оправдано.

Как видно на рис. 1,  $E_F$  монотонно уменьшается с ростом поля, достигая минимального значения  $0.8E_F^{(0)}$  при  $B \sim B_{max}$ .

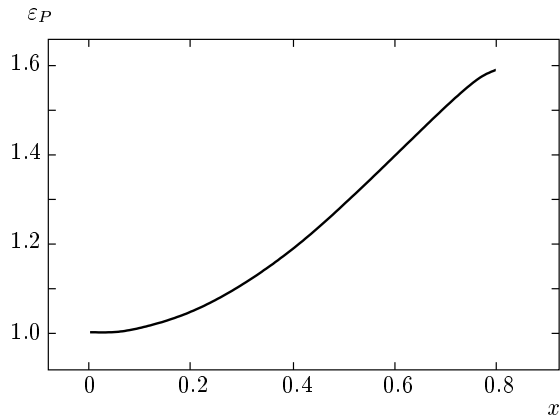


Рис. 3. Зависимость «относительного давления» нейтронной компоненты  $\varepsilon_P = P/P_0$  от полевого параметра  $x$  (10)

Зависимость давления от поля и концентрации удобней охарактеризовать относительной величиной

$$\varepsilon_P = P/P_0,$$

где  $P$  и  $P_0$  задаются формулами (5б) и (11б):

$$\varepsilon_P = \frac{1}{2} \left[ (y+x)^{5/2} + (y-x)^{5/2} \right]. \quad (16a)$$

Это же относится и к объемной плотности энергии

$$\varepsilon_U = U/U_0.$$

Используя формулы (5в) и (11в), находим

$$\varepsilon_U = \varepsilon_P + \frac{5x}{6} \left[ (y-x)^{3/2} - (y+x)^{3/2} \right], \quad (16б)$$

где величина  $\varepsilon_P$  задана формулой (16а).

Зависимости  $\varepsilon_P(x)$  и  $\varepsilon_U(x)$  представлены соответственно на рис. 3, 4.

Помимо уже сформулированных, на основании проведенных вычислений можно сделать следующие выводы.

1. Из рис. 3 видно, что давление вырожденного нейтронного газа растет с ростом поля, достигая значения  $1.6P_0$  при  $B \sim B_{max}$ . Тогда из уравнений равновесия

$$\frac{dP}{dr} = -\frac{G\rho M(r)}{r^2} \quad (17a)$$

и неразрывности [3]

$$\frac{dM(r)}{dr} = 4\pi\rho r^2 \quad (17б)$$

в приближении слабой (ньютоновской) гравитации следует, что соответственно возрастает равновесный

радиус  $R$  нейтронной звезды. В самом деле, из уравнения (17б) получаем ( $\rho \approx \text{const}$ ) соотношение

$$M(r) \approx \frac{4\pi}{3} \rho r^3.$$

При подстановке его в уравнение (17а) и после интегрирования находим

$$P \approx \frac{2\pi}{3} G\rho^2 R^2. \quad (18)$$

Таким образом, при заданной концентрации и плотности  $\rho = mn$ ,  $R \sim \sqrt{P}$  и в общем случае  $R \approx \approx (\varepsilon_P + \varepsilon_B)^{1/2} R_0 > R_0$ , где  $R_0$  — радиус звезды в отсутствие магнитного поля при той же концентрации (см. также [8]). В выражении для  $R$  мы учли вклад собственно магнитного поля в давление, определяемое соотношениями  $\varepsilon_B = P_B/P_0$ ,  $P_B = U_B/3$ ,  $U_B = B^2/8\pi$ . Как можно оценить, начиная со значений поля порядка  $10^{17}$  Гс давление  $P_B$  сравнивается с «нейтронным» (5б), (11б) и его учет также необходим. Таким образом, наличие сверхсильных магнитных полей ( $\gtrsim 10^{17}$  Гс) в «старых» нейтронных звездах — пульсарах с вырожденной нейтронной компонентой — приводит к макроскопическому увеличению их радиуса, т. е. к соответствующему увеличению момента инерции и уменьшению угловой скорости вращения по сравнению со случаем отсутствия магнитного поля. Частота следования импульсов от таких пульсаров будет меньше, чем в случае отсутствия магнитного поля.

С другой стороны, по мере уменьшения магнитного поля вследствие затухания токов, его создающих, частота импульсов будет увеличиваться вследствие уменьшения радиуса и момента инерции. Если такой процесс удастся зарегистрировать за время наблюдений, это будет означать наличие сверхсильного убывающего со временем магнитного поля ( $\gtrsim 10^{17}$  Гс) в астрофизическом объекте, поскольку другие механизмы уменьшения момента инерции в «старых» нейтронных звездах, по-видимому, отсутствуют (уменьшением массы вследствие излучения можно пренебречь, так как оно мало в «старой» нейтронной звезде, в отсутствие магнитного поля гравитационное сжатие также невозможно, поскольку вещество уже сжато до максимальной ядерной плотности).

2. Внутренняя энергия нейтронной компоненты нейтронной звезды уменьшается с ростом поля (рис. 4) с минимальным значением приблизительно  $0.26U_0$ . На самом деле, однако, начиная со значений поля порядка  $10^{17}$  Гс следует учитывать полевой вклад  $U_B$  во внутреннюю энергию и при  $B \sim 10^{17}$  Гс

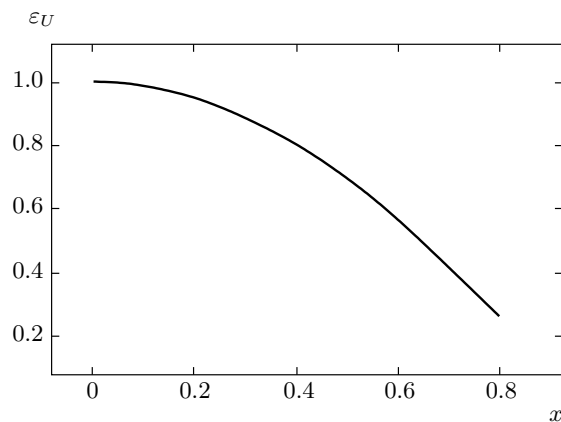


Рис. 4. Зависимость «относительной плотности энергии» нейтронной компоненты  $\varepsilon_U = U/U_0$  от полевого параметра  $x$  (10)

полная внутренняя энергия ( $U + U_B$ ) имеет порядок  $U_0$ .

3. Максимальное значение намагниченности можно найти из формулы (12), полагая  $\varepsilon_- - \varepsilon_+ \approx 1$ ,  $n \sim 10^{38} \text{ см}^{-3}$ . Это дает  $J_{max} \sim B_0$ , что на несколько порядков меньше величины поля, вызвавшего эту намагниченность. Магнитный момент ядра нейтронной звезды по порядку величины равен

$$M_{max} \approx \frac{4}{3} \pi R^3 J_{max};$$

при типичном радиусе порядка нескольких километров это составляет  $M_{max} \approx 10^{30} \text{ Гс}\cdot\text{см}^3$ , что близко к оценкам, сделанным в работе [9].

При исчезновении магнитного поля вследствие затухания вызвавших его токов, как и в обычном парамагнетике, намагниченность исчезает (формула (13а)), так что магнитный момент звезды без магнитного поля токов в любом случае равен нулю, независимо от ее истории.

Заметим в заключение, что использованная модель вырожденного ферми-газа, как и оригинальная модель [5], является приближением к реальной ситуации [7], так как в условиях сверхплотного вещества нейтронной звезды следовало бы использовать модель ферми-жидкости, учитывая также эффекты сверхтекучести [7]. Таким образом, возможно дальнейшее развитие используемой методики вычислений.

Автор благодарит Н. В. Зверева за выполнение графических построений, а также О. А. Жданович, Н. О. Галактионова, И. О. Витер за техническую помощь в оформлении.

## ЛИТЕРАТУРА

1. R. C. Duncan and C. Tompson, *Astrophys. J.* **392**, L9 (1992); M. Boquet et al., *Astron. Astrophys.* **301**, 757 (1995).
2. D. Bandyopadhyay, S. Chakrabarty, P. Dey, and S. Pal, *Phys. Rev. D* **58**, 121301 (1988); D. Bandyopadhyay et al., arXiv:astro-ph/9864145.
3. Г. С. Бисноватый-Коган, *Физические вопросы теории звездной эволюции*, Наука, Москва (1989).
4. Chun-Ming Chiang, Choon-Lin Ho, and Wen-Tsann Lin, *Chinese J. Phys.* **39**, 619 (2001).
5. J. Oppenheimer and G. Volkoff, *Phys. Rev.* **55**, 374 (1939).
6. Л. Д. Ландау, Е. М. Лифшиц, *Статистическая физика*, ч. 1, Физматлит, Москва (2001).
7. Д. Г. Яковлев, К. П. Левенфиш, Ю. А. Шибанов, *УФН* **169**, 825 (1999).
8. A. Reisenegger, *RevMexAA, Serie de Conferencias* **35**, 139 (2009).
9. Д. Н. Седракян, К. М. Шахбазян, А. Г. Мовсисян, *Астрофизика* **21**, 547 (1984).